

İNFORMATİKA

УДК 622.276.1/4.001.57

**İŞLƏNİLMƏNİN SON MƏRHƏLƏSİNDE OLAN NEFT
YATAQLARININ QALIQ NEFT EHTİYATLARININ
ÇIXARILMASINDA POLİMER ƏSASLI NANOSİSTEMİN TƏTBİQİ
İMKANLARININ QİYMƏTLƏNDİRİLMƏSİ**

M.S.XƏLİЛОV

Bakı Dövlət Universiteti

khalilov_mubariz@mail.ru

Gilli neft layına polimerlə təsir məsələsinə baxılır. Layda vurucu və hasilat quyuları yerləşir. Vurucu quyularda laya vurulan polimer məhlulunun miqdarı verilir. Layın vəziyyətinə uyğun sıxışdırılma prosesi rejimində hasilat quyularından hasil olunan fazaların və işlənilmənin digər texniki-texnoloji göstəricilərinin təyin olunması tələb olunur.

Açar sözlər: ədədi üsullar, neft, polimer, nanohissəcik, lay.

Neft yataqlarının işlənilməsi zamanı lay təzyiqinin saxlanması və layların neftvermə əmsalının artırılması məqsədilə obyektlərə su və ya onun müxtəlif əlavələri vurulur. Bu proses səmərəli olsa da, onun tətbiqi nəticəsində layda iki tip qalıq neft formalaşır.

Birinci tip qalıq neft layın su ilə yuyulmuş zonalarında yaranır və ilkin neftlə müqayisədə məsamələrdə və süxur səthində kifayət qədər ağır komponentləri (qətran, asfalten, parafin) özündə saxlayır [1].

Ikinci tip qalıq neft yatağın ilkin neftindən az fərqlənir və qeyri-bircins kollektorlardan neftin tam sıxışdırılmaması nəticəsində yaranır. Bu tip qalıq neftin formalaşmasının səbəbləri süxur-kollektorun qeyri-bircinslilik quruluşu (müxtəlif keçiricilikli zonaların mövcudluğu), həmçinin sıxışdırılan və sıxışdırılan fluidlərin süzülmə qanuna uyğunluqlarının müxtəlif olmasıdır [2,6].

Qalıq neftin çıxarılması probleminin həlli üçün çoxsaylı təsir üsulları işlənilmiş və mədənlərdə sınaqdan çıxarılmaqla sənaye miqyasında tətbiq olunmuşdur [8-10 və s.]. Lakin bu problemin həlli hələ də açıq və aktual problem olaraq qalır.

Birinci və ikinci tip qalıq neftlərin çıxarılmasının təmin olunması üçün mövcud təsir üsullarını aşağıdakı şəkildə klassifikasiya etmək olar:

-istilik üsulları; məhsuldar laya bilavasitə istiliyin daxil edilməsi və ya

onun ötürülməsi yerinə yetirilir. Bu üsullara tsikli və ya kəsilməz buxarın vurulması, isti suyun vurulması, laydaxili yanma aiddir.

-qaz üsulları; laya CO_2 -qazının, azotun, karbohidrogen və dəm qazının vurulması aid edilir.

-fiziki-kimyəvi üsullar; hidrofil səxurda neftin bloklanma dərəcəsinin azaldılması üçün laya fazalar arası səthi gərilməni aşağı salan reagentlərin vurulmasına baxılır. Həmçinin süzülmə axınlarının dəyişdirilməsi və suyun qəbul edilməsinin profilinin bərabərləşdirilməsi üçün polimer və digər kimyəvi reagentlərdən istifadə edilir.

Dünyada qalıq neftin çıxarılmasında istifadə edilən üsulların bölgü payının təxminən 42%-i istilik üsullarının, 27%-i qaz üsullarının, 31%-i isə fiziki-kimyəvi üsulların tətbiqinə əsaslanır [8].

Fiziki-kimyəvi üsulların tətbiqi ilə qalıq neftin çıxarılmasında istifadə olunan texnologiyalar SAM qarışqlarla, qələvilərlə, polimer dispers sistemlərlə, qel və çökmə yaranan reagentlər və polimer qarışqlarla təsirə əsaslanır [7, 8].

Bu üsulların içərisində ən çox tətbiqini tapan polimerlərlə təsir üsuludur. Polimerli suvurmada çoxsaylı polimer reagentlər istifadə olunur və onların tətbiqinə əsaslanan aşağıdakı bir neçə əsas üsullar mövcuddur [9]: su və neftin hərəkətliliyi nisbətini azaldan polimer reagentlərin tətbiqi üsulu; layın həm dərinliyi üzrə və həmçinin quydibi zonanın işlənilməsində yüksək keçiricilikli zonaları bağlamaq məqsədilə polimer sistemləri çarpaz tikə bilən təsir üsulu.

Eksperimental tədqiqatlar göstərir ki, qalıq neft ehtiyatlarının işlənilməyə cəlb edilməsi üçün Na-karboksimetil sellüloza, SAM, metal nanohissəciklərdən və sudan ibarət polimer əsaslı nanosistemin tətbiqi praktiki əhəmiyyətli olar.

Neftin və vurulan suyun özlülükleri nisbəti neft hasilatının artırılmasında vacib amillərdən hesab edilir. Layə vurulan suya yüksək molekullu polimerlər əlavə edildikdə sixışdırın fluidin özlülüyü artırılır və nəticədə neftin sixışdırılma cəbhəsi kifayət qədər düzgün (müntəzəm) hala gəlir [9].

Qalıq neftin çıxarılma şəraitinin mürəkkəbliyi polimer reagentlərin tətbiqinə və onların daha da təkmilləşdirilməsinə kifayət qədər böyük tələblər qoyur və onların yaradılmasına yeni yanaşmaların işlənilməsinin zərurılıyını şərtləndirir. Kapilyar saxlanılma və təbəqə neftinin, həmçinin zəif keçiricilikli kollektorlarda və su ilə əhatə oluna bilinməyən lay hissələrində qalan neftin ümumi ehtiyatın daha çox hissəsini təşkil etdiyindən təsiretmə zamanı yüksək nüfuzetmə qabiliyyətli nanostrukturlu reagentlərin tətbiqi böyük əhəmiyyət daşıyır. Nanohissəcik əsaslı reagentin neftçixarma sənayesində praktiki tətbiqi öz əksini çox az tapmışdır. Halbuki müxtəlif əsasda nanomaterialların mövcud sintez üsulları mövcud reagentlərin sintezindən əvvəl konkret üstünlük'lərə malikdir. [9] eksperimental tədqiqatlar göstərir ki, nanohissəcik əsaslı polimer sistemlərin seçilməsi (hazırlanması) və onların sulu məhlulu ilə laya təsirdə səxur səthində və məsamə kanallarında toplanan qalıq neftin çıxarılma əmsalının 0.2-0.25 artımına nail olmaq mümkündür.

Bu məqsədlə səxur-kollektorun mineralozi tərkibini nəzərə almaqla laya polimer əsaslı məhlullarla təsiretmədə qalıq neft ehtiyatlarının işlənilməyə cəlb edilməsi ilə neftveriminin artırılması imkanlarının proqnoz qiymətləndirməsi aktuallıq kəsb edir.

Məsələnin qoyuluşu

Gilli neft layına polimerlə təsir məsələsinə baxılır. Layda vurucu və hasilat quyuları yerləşir. Vurucu quyularda laya vurulan polimer məhlulunun miqdarı verilir. Layın vəziyyətinə uyğun sixışdırılma prosesi rejimində hasilat quyularından hasil olunan fazaların və işlənilmənin digər texniki-texnoloji göstəricilərinin təyin olunması tələb olunur.

Proses hər bir faza üçün kəsilməzlik, süzülmə qanununun, fazaların hal tənliliklərinin, sulu fazada duz və polimerin konsentrasiyası tənliliklərinin və fazalar arasındaki doyma tənliyinin birləşdirilməsi əsasında təklif olunan iki fazalı dörd komponentli model əsasında təsvir edilmişdir [1, 7]:

$$\frac{\partial}{\partial t} [ms + \omega] + \operatorname{div} U_e = \sum_{e=1}^{n_1} Q_{ee}^h(t) \delta(x - x_e^h, y - y_e^h) + \sum_{l=1}^{n_2} Q_{le}^h(t) \delta(x - x_l^h, y - y_l^h), \quad (1)$$

$$\frac{\partial}{\partial t} [m(1-s)] + \operatorname{div} U_h = \sum_{l=1}^{n_2} Q_{jh}^s(t) \delta(x - x_l^s, y - y_l^s), \quad (2)$$

$$\begin{aligned} & \frac{\partial}{\partial t} [mcs + mr_1(1-s) + a_s] + \operatorname{div}(cU_e + r_1 U_h) = \operatorname{div}(D_s \operatorname{grad} c) + \\ & + \sum_{e=1}^{n_1} c Q_{ee}^h(t) \delta(x - x_e^h, y - y_e^h) + \sum_{l=1}^{n_2} (c Q_{lh}^s(t) + r_1 Q_{lh}^s(t)) \delta(x - x_l^s, y - y_l^s), \end{aligned} \quad (3)$$

$$\begin{aligned} & \frac{\partial}{\partial t} [mbs + mr_2(1-s) + a_p] + \operatorname{div}(bU_e + r_2 U_h) = \operatorname{div}(D_p \operatorname{grad} b) + \\ & + \sum_{e=1}^{n_1} b Q_{ee}^h(t) \delta(x - x_e^h, y - y_e^h) + \sum_{l=1}^{n_2} (b Q_{lh}^s(t) + r_2 Q_{lh}^s(t)) \delta(x - x_l^s, y - y_l^s), \end{aligned} \quad (4)$$

$$\begin{aligned} & s(x, y, t)|_{t=0} = s_0(x, y), c(x, y, t)|_{t=0} = c_0(x, y), \\ & b(x, y, t)|_{t=0} = b_0(x, y), \quad (0 \leq x \leq l_x; \quad 0 \leq y \leq l_y), \end{aligned} \quad (5)$$

$$\frac{\partial p_e}{\partial x}|_{x=0, l_x} = 0, \quad \frac{\partial b}{\partial x}|_{x=0, l_x} = 0, \quad \frac{\partial c}{\partial x}|_{x=0, l_x} = 0, \quad 0 \leq y \leq l_y,$$

$$\frac{\partial p_e}{\partial y}|_{y=0, l_y} = 0, \quad \frac{\partial b}{\partial y}|_{y=0, l_y} = 0, \quad \frac{\partial c}{\partial y}|_{y=0, l_y} = 0, \quad 0 \leq x \leq l_x, 0 \leq t \leq T, \quad (6)$$

burada

$$U_l = \begin{cases} -\frac{kf_l(s,b,c)}{\mu_l(s,b,c)} gradp_l \left[1 - \frac{G_l}{gradp_l} \right] & , \quad gradp_l > G_l, \\ 0, & gradp_l < G_l, \quad G_l = G_l(s,b,c) \end{cases}$$

$$p_n - p_e = \sigma \sqrt{\frac{m}{k}} J(s,b,c); \quad (7)$$

$$m = m(s,b,c); \omega = \omega(s,b,c); a_s = a_s(s,c); a_p = a_p(s,b,c);$$

U_l - fazaların süzülmə sürəti ($l = e$ - su, $l = h$ - neft); s - su ilə doyma; $(1-s)$ - neftlə doyma; ω -gilə adsorbsiya olunmuş suyun miqdarı; c və b , r_1 və r_2 - uygun olaraq su və neftdə duzun və polimerin konsentrasiyaları; a_s və a_p - sorbsiya olunmuş suyun və polimerin miqdarı; k - mütləq keçiricilik; μ_l ($l = e, h$) - fazaların özlülüyü; f_l ($l = e, h$) - nisbi faza keçiricilikləri; G_l ($l = e, h$) -süzülmənin başlanğıc qradiyenti; p_l ($l = e, h$) -fazalarda təzyiq; σ - fazaların ayrılma sərhəddində səthi gərilmə; J - Leverett funksiyası; m_1 və m_2 - uygun olaraq vurucu və hasilat quyularının sayı; (x_i^h, y_i^h) və (x_j^e, y_j^e) - vurucu və hasilat quyularının koordinatları; $Q_{ei}^h(t)$ - layın vahid hündürlüyündə i -ci vurucu quyunun suya görə həcmi sərfi; $Q_{ej}^e(t)$ və $Q_{lj}^e(t)$ - layın vahid hündürlüyündə j -cu hasilat quyusunun su və neft fazalarına görə həcmi debitləri; m -məsaməlik; t -zamandır.

(1)-(7) tənliklər sistemində naməlum kəmiyyətlər su ilə doyma (s), su fazasında duz (c) və polimer konsentrasiyası (b) və su fazasının (p_e) təzyiqidir.

(1)-(7) sistemindən U_e , U_h fazalarının süzülmə sürətlərini və neft fazasının p_n təzyiqini yox etməklə və bəzi hesablama çevrilmələrini aparmaqla p_e , s , c və b -yə nəzərən məsələ alınır:

$$div(\lambda_{ne} gradp_e) + div(\lambda_n gradp_k) + div(\lambda_w) + \frac{\partial}{\partial t} [m + \omega] = \sum_{e=1}^{n_1} Q_{ee}^h(t) \delta(x - x_e^h, y - y_e^h) +$$

$$+ \sum_{l=1}^{n_2} (Q_{le}^e(t) + Q_{lh}^e(t)) \delta(x - x_l^e, y - y_l^e), \quad (8)$$

$$\frac{\partial s}{\partial t} = \frac{1}{m} \left\{ [div(\lambda_e gradp_e)] + div(\lambda_e G_e) - s \frac{\partial m}{\partial t} - \frac{\partial \omega}{\partial t} + \sum_{e=1}^{n_1} Q_{ee}^h(t) \delta(x - x_e^h, y - y_e^h) \right\}, \quad (9)$$

$$\begin{aligned} \frac{\partial c}{\partial t} = & \frac{1}{ms} \left\{ \left[\operatorname{div}(D_s \operatorname{grad} c) \right] - \frac{\partial [mr_1(1-s) + a_s]}{\partial t} - c \frac{\partial ms}{\partial t} - \operatorname{div}[(c\lambda_e + r_1\lambda_n) \operatorname{grad} p_e] - \right. \\ & - \operatorname{div}[r_1\lambda_n \operatorname{grad} p_k] - \operatorname{div}[(c\lambda_e + r_1\lambda_n)] + \sum_{e=1}^{n_1} c Q_{ee}^h(t) \delta(x - x_e^h, y - y_e^h) + \\ & \left. + \sum_{l=1}^{n_2} (c Q_{le}^3(t) + r_1 Q_{lh}^3(t)) \delta(x - x_l^3, y - y_l^3) \right\}, \end{aligned} \quad (10)$$

$$\begin{aligned} \frac{\partial b}{\partial t} = & \frac{1}{ms} \left\{ \left[\operatorname{div}(D_p \operatorname{grad} b) \right] - \frac{\partial [mr_2(1-s) + a_p]}{\partial t} - b \frac{\partial ms}{\partial t} - \operatorname{div}[(b\lambda_e + r_2\lambda_n) \operatorname{grad} p_e] - \right. \\ & - \operatorname{div}[r_2\lambda_n \operatorname{grad} p_k] - \operatorname{div}[(b\lambda_e + r_2\lambda_n)] + \sum_{e=1}^{n_1} b Q_{ee}^h(t) \delta(x - x_e^h, y - y_e^h) + \\ & \left. + \sum_{l=1}^{n_2} (b Q_{le}^3(t) + r_2 Q_{lh}^3(t)) \delta(x - x_l^3, y - y_l^3) \right\}, \end{aligned} \quad (11)$$

Burada

$$\lambda_{ne} = \lambda_e + \lambda_n, \quad -k \frac{f_e(s, b, c)}{\mu_e(p, b, c)} = \lambda_e, \quad -k \frac{f_n(s, b, c)}{\mu_n(p, b, c)} = \lambda_n, \quad G_e \lambda_e + G_n \lambda_n = \lambda_w.$$

qəbul olunmuşdur.

Ədədi həll sxemi

p_e, s, c və b -ni təyin etmək üçün fəza və zamana görə $\omega = \omega_x \cdot \omega_y \cdot \omega_t$ sonlu fərqlər şəbəkəsi daxil edək

$$\begin{aligned} \omega_x &= \{x_i, i = \overline{0, N_x}; \quad x_0 = 0, \quad x_{N_x} = L_x, \quad x_{i-1} \leq x_i \leq x_{i+1}, \quad i = \overline{1, N_{x-1}}\} \\ \omega_y &= \{y_j, j = \overline{0, N_y}; \quad y_0 = 0, \quad y_{N_y} = L_y, \quad y_{j-1} \leq y_j \leq y_{j+1}, \quad j = \overline{1, N_{y-1}}\} \\ \omega_t &= \{t_n = n\Delta\tau, n = 0, 1, 2, \dots, \quad t_0 = 0, \quad t_{n+1} \geq t_n\}, \end{aligned}$$

və (8)-(11) tənliklər sisteminə və (6), (7) başlanğıc, sərhəd şərtinə integrallı-interpolyasiya üsulunu qeyri-müntəzəm $\omega = \omega_x \cdot \omega_y \cdot \omega_t$ şəbəkəsində tətbiq etməklə aşağıdakı şəkildə birinci tərtib konservativ sonlu-fərqlər sxemi alınar:

$$\begin{aligned} &\frac{1}{\Delta x_i} \left[\lambda_{ne+1/2, j}^{n+1} \frac{P_{ei+1, j}^{n+1} - P_{ei, j}^{n+1}}{x_{i+1} - x_i} - \lambda_{ne-1/2, j}^{n+1} \frac{P_{ei, j}^{n+1} - P_{ei-1, j}^{n+1}}{x_i - x_{i-1}} \right] + \\ &+ \frac{1}{\Delta y_j} \left[\lambda_{ne, j+1/2}^{n+1} \frac{P_{ei, j+1}^{n+1} - P_{ei, j}^{n+1}}{y_{j+1} - y_j} - \lambda_{ne, j-1/2}^{n+1} \frac{P_{ei, j}^{n+1} - P_{ei, j-1}^{n+1}}{y_j - y_{j-1}} \right] + \end{aligned}$$

$$\begin{aligned}
& + \frac{1}{\Delta x_i} \left[\lambda_{ni+1/2,j}^{n+1} \frac{p_{ki+1,j}^{n+1} - p_{ki,j}^{n+1}}{x_{i+1} - x_i} - \lambda_{ni-1/2,j}^{n+1} \frac{p_{ki,j}^{n+1} - p_{ki-1,j}^{n+1}}{x_e - x_{e-1}} \right] + \\
& + \frac{1}{\Delta y_j} \left[\lambda_{ni,j+1/2}^{n+1} \frac{p_{ki,j+1}^{n+1} - p_{ki,j}^{n+1}}{y_{j+1} - y_j} - \lambda_{ni,j-1/2}^{n+1} \frac{p_{ki,j}^{n+1} - p_{ki,j-1}^{n+1}}{y_j - y_{j-1}} \right] + \\
& + \frac{1}{\Delta x_i} [\lambda_{wi+1,j}^{n+1} - \lambda_{wi,j}^{n+1}] + \frac{1}{\Delta y_j} [\lambda_{wi,j+1}^{n+1} - \lambda_{wi,j}^{n+1}] + \frac{1}{\Delta \tau} [m_{i,j}^{n+1} - m_{i,j}^n + \omega_{i,j}^{n+1} - \omega_{i,j}^n] = \\
& = \sum_{e=1}^{m_1} Q_{ee}^n(t_n) \bar{\delta}_{ei,j}^n + \sum_{l=1}^{m_2} (Q_{el}^n(t_n) + Q_{nl}^n(t_n)) \bar{\delta}_{ei,j}^n , \quad (12)
\end{aligned}$$

$$\begin{aligned}
s_{i,j}^{n+1} &= s_{i,j}^n + \frac{\Delta \tau}{m_{i,j}^n} \left\{ \frac{1}{\Delta x_i} \left[\lambda_{ei+1/2,j}^{n+1} \frac{p_{ei+1,j}^{n+1} - p_{ei,j}^{n+1}}{x_{i+1} - x_i} - \right. \right. \\
&\quad \left. \left. - \lambda_{ei-1/2,j}^{n+1} \frac{p_{ei,j}^{n+1} - p_{ei-1,j}^{n+1}}{x_i - x_{i-1}} \right] + \frac{1}{\Delta y_j} \left[\lambda_{ei,j+1/2}^{n+1} \frac{p_{ei,j+1}^{n+1} - p_{ei,j}^{n+1}}{y_{j+1} - y_j} - \right. \right. \\
&\quad \left. \left. - \lambda_{ei,j-1/2,k}^{n+1} \frac{p_{ei,j}^{n+1} - p_{ei,j-1}^{n+1}}{y_j - y_{j-1}} \right] + \frac{1}{\Delta x_i} [\lambda_{ei+1,j}^{n+1} G_{ei+1,j}^{n+1} - \lambda_{ei,j}^{n+1} G_{ei,j}^{n+1}] + \right. \\
&\quad \left. + \frac{1}{\Delta y_j} [\lambda_{ei,j+1}^{n+1} G_{ei,j+1}^{n+1} - \lambda_{ei,j}^{n+1} G_{ei,j}^{n+1}] - s_{i,j}^n \frac{1}{\Delta \tau} [m_{i,j}^{n+1} - m_{i,j}^n + \omega_{i,j}^{n+1} - \omega_{i,j}^n] + \right. \\
&\quad \left. + \sum_{e=1}^{m_1} Q_{ee}^n(t_n) \bar{\delta}_{ei,j}^n \right\} , \quad (13)
\end{aligned}$$

$$\begin{aligned}
c_{i,j}^{n+1} &= c_{i,j}^n + \frac{\Delta \tau}{m_{i,j}^n s_{i,j}^n} \left\{ \frac{1}{\Delta x_i} \left[D_{i+1/2,j}^{n+1} \frac{c_{i+1,j}^n - c_{i,j}^n}{x_{i+1} - x_i} - D_{i-1/2,j,k}^{n+1} \frac{c_{i,j}^n - c_{i-1,j}^n}{x_i - x_{i-1}} \right] + \right. \\
&\quad \left. + \frac{1}{\Delta y_j} \left[D_{i,j+1/2}^{n+1} \frac{c_{i,j+1}^n - c_{i,j}^n}{y_{j+1} - y_j} - D_{i,j-1/2}^{n+1} \frac{c_{i,j}^n - c_{i,j-1}^n}{y_j - y_{j-1}} \right] + \right. \\
&\quad \left. - \frac{1}{\Delta \tau} \left\{ m_{i,j}^{n+1} r_{i,j}^{n+1} (1 - s_{i,j}^{n+1}) + a_{si,j}^{n+1} - m_{i,j}^n r_{i,j}^n (1 - s_{i,j}^n) - a_{si,j}^n \right\} - c_{i,j}^n \frac{1}{\Delta \tau} [m_{i,j}^{n+1} s_{i,j}^{n+1} - m_{i,j}^n s_{i,j}^n] - \right. \\
&\quad \left. - \frac{1}{\Delta x_i} \left[(c_{i+1/2,j}^n \lambda_{ei+1/2,j}^{n+1} + r_{i+1/2,j}^n \lambda_{ni+1/2,j}^{n+1}) \frac{p_{ei+1,j}^{n+1} - p_{ei,j}^{n+1}}{x_{i+1} - x_i} - \right. \right. \\
\end{aligned}$$

$$\begin{aligned}
& - (c_{i-1/2,j}^n \lambda_{ei-1/2,j}^{n+1} + r_{1i-1/2,j}^n \lambda_{ni-1/2,j}^{n+1}) \frac{p_{ei,j}^{n+1} - p_{ei-1,j}^{n+1}}{x_i - x_{i-1}} \Big] - \\
& - \frac{1}{\Delta y_j} \left[(c_{i,j+1/2}^n \lambda_{ei,j+1/2}^{n+1} + r_{1i,j+1/2}^n \lambda_{ni,j+1/2}^{n+1}) \frac{p_{ei,j+1}^{n+1} - p_{ei,j}^{n+1}}{y_{j+1} - y_j} - \right. \\
& \quad \left. - (c_{i,j-1/2}^n \lambda_{ei,j-1/2}^{n+1} + r_{1i,j-1/2}^n \lambda_{ni,j-1/2}^{n+1}) \frac{p_{ei,j}^{n+1} - p_{ei,j-1}^{n+1}}{y_j - y_{j-1}} \right] - \\
& - \frac{1}{\Delta x_i} \left[r_{1i+1/2,j}^n \lambda_{ni+1/2,j}^{n+1} \frac{p_{ki+1,j}^{n+1} - p_{ki,j}^{n+1}}{x_{i+1} - x_i} - r_{1i-1/2,j}^n \lambda_{ni-1/2,j}^{n+1} \frac{p_{ki,j}^{n+1} - p_{ki-1,j}^{n+1}}{x_i - x_{i-1}} \right] - \\
& - \frac{1}{\Delta y_j} \left[r_{1i,j+1/2}^n \lambda_{ni,j+1/2}^{n+1} \frac{p_{ki,j+1}^{n+1} - p_{ki,j}^{n+1}}{y_{j+1} - y_j} - r_{1i,j-1/2}^n \lambda_{ni,j-1/2}^{n+1} \frac{p_{ki,j}^{n+1} - p_{ki,j-1}^{n+1}}{y_j - y_{j-1}} \right] - \\
& - \frac{1}{\Delta x_i} \left[(c_{i+1,j}^n \lambda_{ei+1,j}^{n+1} + r_{1i+1,j}^n \lambda_{ni+1,j}^{n+1}) - (c_{i,j}^n \lambda_{ei,j}^{n+1} + r_{1i,j}^n \lambda_{ni,j}^{n+1}) \right] - \\
& - \frac{1}{\Delta y_j} \left[(c_{i,j+1}^n \lambda_{ei,j+1}^{n+1} + r_{1i,j+1}^n \lambda_{ni,j+1}^{n+1}) - (c_{i,j}^n \lambda_{ei,j}^{n+1} + r_{1i,j}^n \lambda_{ni,j}^{n+1}) \right] + \\
& + \sum_{e=1}^{m_1} c_{i,j}^n Q_{ee}^n(t_n) \bar{\delta}_{ei,j}^n + \sum_{l=1}^{m_2} (c_{i,j}^n Q_{el}^n(t_n) + r_{1i,j}^n Q_{lh}^n(t_n)) \bar{\delta}_{ei,j}^n \Big\}, \tag{14}
\end{aligned}$$

$$\begin{aligned}
b_{i,j}^{n+1} = & b_{i,j}^n + \frac{\Delta \tau}{m_{i,j}^n s_{i,j}^n} \left\{ \frac{1}{\Delta x_i} \left[D_{i+1/2,j}^{n+1} \frac{b_{i+1,j}^n - b_{i,j}^n}{x_{i+1} - x_i} - D_{i-1/2,j,k}^{n+1} \frac{b_{i,j}^n - b_{i-1,j}^n}{x_i - x_{i-1}} \right] + \right. \\
& + \frac{1}{\Delta y_j} \left[D_{i,j+1/2}^{n+1} \frac{b_{i,j+1}^n - b_{i,j}^n}{y_{j+1} - y_j} - D_{i,j-1/2}^{n+1} \frac{b_{i,j}^n - b_{i,j-1}^n}{y_j - y_{j-1}} \right] + \\
& - \frac{1}{\Delta \tau} \left\{ m_{i,j}^{n+1} r_{2i,j}^n (1 - s_{i,j}^{n+1}) + a_{si,j}^n - m_{i,j}^n r_{2i,j}^n (1 - s_{i,j}^n) - a_{si,j}^n \right\} - b_{i,j}^n \frac{1}{\Delta \tau} \left[m_{i,j}^{n+1} s_{i,j}^{n+1} - m_{i,j}^n s_{i,j}^n \right] - \\
& - \frac{1}{\Delta x_i} \left[(b_{i+1/2,j}^n \lambda_{ei+1/2,j}^{n+1} + r_{1i+1/2,j}^n \lambda_{ni+1/2,j}^{n+1}) \frac{p_{ei+1,j}^{n+1} - p_{ei,j}^{n+1}}{x_{i+1} - x_i} - \right. \\
& \quad \left. - (b_{i-1/2,j}^n \lambda_{ei-1/2,j}^{n+1} + r_{1i-1/2,j}^n \lambda_{ni-1/2,j}^{n+1}) \frac{p_{ei,j}^{n+1} - p_{ei-1,j}^{n+1}}{x_i - x_{i-1}} \right]
\end{aligned}$$

$$\begin{aligned}
& -\frac{1}{\Delta y_j} \left[(b_{i,j+1/2}^n \lambda_{ei,j+1/2}^{n+1} + r_{2i,j+1/2}^n \lambda_{ni,j+1/2}^{n+1}) \frac{p_{ei,j+1}^{n+1} - p_{ei,j}^{n+1}}{y_{j+1} - y_j} - \right. \\
& \quad \left. -(b_{i,j-1/2}^n \lambda_{ei,j-1/2}^{n+1} + r_{2i,j-1/2}^n \lambda_{ni,j-1/2}^{n+1}) \frac{p_{ei,j}^{n+1} - p_{ei,j-1}^{n+1}}{y_j - y_{j-1}} \right] - \\
& -\frac{1}{\Delta x_i} \left[r_{2i+1/2,j}^n \lambda_{ni+1/2,j}^{n+1} \frac{p_{ki+1,j}^{n+1} - p_{ki,j}^{n+1}}{x_{i+1} - x_i} - r_{2i-1/2,j}^n \lambda_{ni-1/2,j}^{n+1} \frac{p_{ki,j}^{n+1} - p_{ki-1,j}^{n+1}}{x_i - x_{i-1}} \right] - \\
& -\frac{1}{\Delta y_j} \left[r_{2i,j+1/2}^n \lambda_{ni,j+1/2}^{n+1} \frac{p_{ki,j+1}^{n+1} - p_{ki,j}^{n+1}}{y_{j+1} - y_j} - r_{2i,j-1/2}^n \lambda_{ni,j-1/2}^{n+1} \frac{p_{ki,j}^{n+1} - p_{ki,j-1}^{n+1}}{y_j - y_{j-1}} \right] - \\
& -\frac{1}{\Delta x_i} [(b_{i+1,j}^n \lambda_{ei+1,j}^{n+1} + r_{2i+1,j}^n \lambda_{ni+1,j}^{n+1}) - (b_{i,j}^n \lambda_{ei,j}^{n+1} + r_{2i,j}^n \lambda_{ni,j}^{n+1})] - \\
& -\frac{1}{\Delta y_j} [(b_{i,j+1}^n \lambda_{ei,j+1}^{n+1} + r_{2i,j+1}^n \lambda_{ni,j+1}^{n+1}) - (b_{i,j}^n \lambda_{ei,j}^{n+1} + r_{2i,j}^n \lambda_{ni,j}^{n+1})] + \\
& + \sum_{e=1}^{m_1} b_{i,j}^n Q_{ee}^n(t_n) \bar{\delta}_{ei,j}^n + \sum_{l=1}^{m_2} (b_{i,j}^n Q_{el}^n(t_n) + r_{2i,j}^n Q_{lh}^n(t_n)) \bar{\delta}_{ei,j}^n \Big\}, \tag{15}
\end{aligned}$$

$$s_{i,j}^0 = s_0(x_i, y_j), c_{i,j}^0 = c_0(x_i, y_j), b_{i,j}^0 = b_0(x_i, y_j) \quad (0 \leq i \leq N_x, 0 \leq j \leq N_y), \tag{16}$$

$$\begin{aligned}
p_{ei,j}^n &= p_{e0,j}^n, \quad p_{eN_x,j}^n = p_{eiN_x-1,j}^n; \quad p_{ei,1}^n = p_{ei,0}^n, \quad p_{ei,N_y}^n = p_{ei,N_y-1}^n; \\
b_{1,j}^n &= b_{0,j}^n, \quad b_{N_x,j}^n = b_{N_x-1,j}^n, \quad b_{i,1}^n = b_{i,0}^n, \quad b_{i,N_y}^n = b_{i,N_y-1}^n, \\
c_{1,j}^n &= c_{0,j}^n, \quad c_{N_x,j}^n = c_{N_x-1,j}^n, \quad c_{i,1}^n = c_{i,0}^n, \quad c_{i,N_y}^n = c_{i,N_y-1}^n, \quad (0 \leq i \leq N_x, 0 \leq j \leq N_y). \tag{17}
\end{aligned}$$

Burada

$$\bar{\delta}_{ei,j}^n = \begin{cases} 0, & x_i \neq x_e^n, y_j \neq y_e^n \\ 1, & x_i = x_e^n, y_j = y_e^n \end{cases}; \quad \bar{\delta}_{li,j}^n = \begin{cases} 0, & x_i \neq x_l^o, y_j \neq y_l^o \\ 1, & x_i = x_l^o, y_j = y_l^o \end{cases}.$$

(12)-(17) sonlu fərqlər sxemi (8)-(11), (6)-(7) hidrodinamik məsələsinin həllini "təzyiqə görə qeyri-aşkar, su ilə doyma, duz və polimer konsentrasiyasına görə aşkar" şəkildə tapmağa imkan verir. Təzyiqə görə sonlu fərqlər sxemi iterasiyalı nöqtəvi Yakobi üsulu ilə, su doyma və su fazasında duz və polimer konsentrasiyasına görə isə Eyler üsulu ilə həll edilir [1].

Qalıq neftin polimer əsaslı məhlullarla sixışdırılmasında neftveriminin proqnozu

Təklif olunan hesablama modelinə əsasən, neft hasilatının artırılması imkanlarının qiymətləndirməsi üçün neftin su ilə sixışdırılmasının baza variantı

ilə müqayisədə neftin polimer əsaslı məhlullar ilə sıxışdırılmasının test hesablamaları yerinə yetirilmişdir.

Laya polimer əsaslı məhlullarla təsiretmə üsulun effektivliyinin qiymətləndirilməsi geoloji-fiziki şəraitə uygunluğu özündə saxlayan “Bibiheybətneft” NQÇİ –nin VLd-VL horizontu üzrə sahədə aparılmışdır.

Sahənin mədən məlumatlarına görə hesablanmış ehtiyatların nəticəsi ilə çıxarılan neftin nəticəsinin müqayisəsi əsasən orada kifayət qədər qalıq neft ehtiyatlarının mövcudluğunu təsdiq edir.

Bununla əlaqədar olaraq sahə quyularının müəyyən müddət üçün neft və suya görə debitlərinin dəyişməsi dinamikası əsasında hidrodinamik modelin sahəyə adaptasiyası (sazlanması) aparılmış və nəticədə neft və suya görə nisbi faza keçiricilikləri funksiyaları identifikasiya olunmuşdur.

$$f_{_H}(s) = \left(\frac{0.912 - s}{0.64} \right)^3, \quad f_{_E}(s, 0, 0.2) = \left(\frac{s - 0.17}{0.87} \right)^{2.73}.$$

Hidrodinamik modelin sahəyə adaptasiyasından sonra texnoloji prosesinin tənzimlənməsi ilə neftveriminin artırılması imkanları proqnozlaşdırılmışdır.

Praktikada polimer qarışığın 0,4-dən 10 q/l-ə qədər konsentrasiyası tətbiq edilir. KMS polimerinin müxtəlif şəraitlərdə reologiyi xassələrinin tədqiqi üçün 0,5; 1; 2; 3; 4 və 5 q/l konsentrasiyası qarışığından istifadə edilmişdir.

Beləliklə, özlülüyün temperaturdan asılılığını və polimerin lay suyu ilə qarşılıqlı təsir mexanizmini əsas götürərək sərbəst həcmli məhlullardakı polimerin LTS-si agenti kimi tətbiqi üçün rasional konsentrasiyası KMS üçün 5q/l seçilmişdir.

Verilmiş sahədə qeyd olunan məlumatları əsas tutaraq polimer əsaslı suvurmanın müxtəlif variantlarının hesablamaları aparılmış və bu zaman prosesin 10 il davamlı olaraq aparılması yerinə yetirilmişdir.

Variantların hesablama nəticələri cədvəl 1 və şəkil 1-də göstərilmişdir.

İşlənilmənin baza variantında (suvurmada) cəm neft hasilatı 86,066 min ton, polimer əsaslı məhlul ilə işlənilmədə isə maksimal cəm neft hasilatı 89,935 min ton və neftin çıxarılma əmsalının cari qiymət artımı 4,6% təşkil edir.

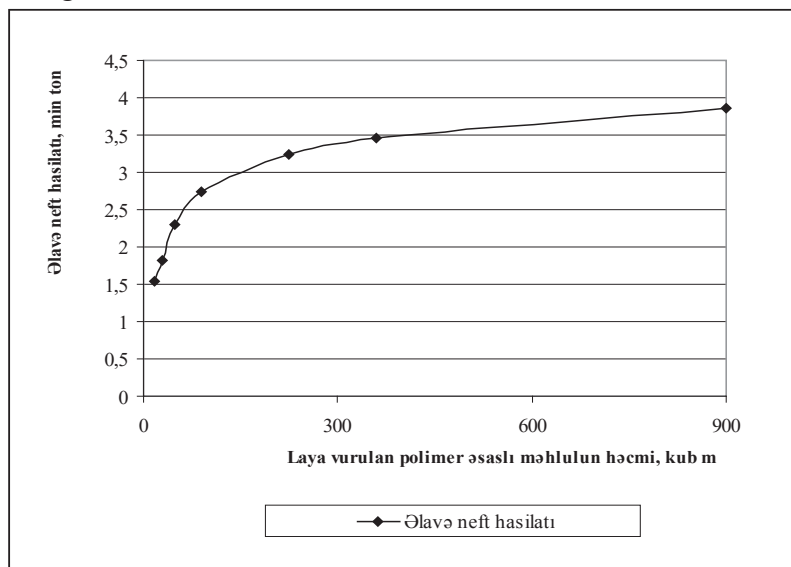
Cədvəl 1

Hesablama modelinin nəticələri

Variantlar	Hasil olunan neftin miqdari, min ton	Cari neftin çıxarılma əmsali	Baza varianti ilə müqayisədə NÇƏ-nin artımı, %	Əlavə neft hasilatı, min ton
Baza	86,066	0,1654	-	-
1.	87,599	0,169	2,18	1,533
2.	87,891	0,169021	2,19	1,825
3.	88,366	0,16994	2,75	2,3
4.	88,803	0,1708	3,3	2,737
5.	89,314	0,1718	3,87	3,244
6.	89,534	0,1722	4,2	3,468
7.	89,935	0,173	4,6	3,869

Əlavə neft hasilatının həcmi verilən lay hissəsinə 18 m^3 -dən 360 m^3 -ə qədər polimer əsaslı məhlul vurmada kəskin artır (şəkil 1). Eyni zamanda vurulan məhlulun həcminin artması ilə əlavə neft hasilatı artır, lakin onun artımı vurulan məhlulun vahid həcmində kəskin azalır. Bununla əlaqədar baxılan lay hissəsində 360 m^3 məhlulun vurucu quyuya birdəfəlik vurulmasının daha effektivli olması qəbul edilir (KMS əsaslı polimer məhlulun 5q/l konsentrasiyasında).

Polimer əsaslı məhlul vurmada gözlənilən effektin olmasını hasilat quyularında reaksiya olunan effektin qiymətləndirilməsi, yəni 1519, 2779 və 2781 sayılı quyularda sulaşmanın uyğun olaraq 73 % -dən 34% -ə, 70% -dən 29% -ə, 77 % -dən 36% -ə qədər enməsi və neft hasilatının isə 1,33; 1,24; 1,4 dəfə artması göstərir.



Şək. 1. Əlavə neft hasilatının laya vurulan polimer əsaslı məhlulun həcmindən asılılığı

Nəticə:

-polimer əsaslı məhlulda daxil olan suyun minerallaşma dərəcəsini sahənin lay suyunun minerallıq dərəcəsinə nəzərən azaltmaqla sıxışdırılan məhsulda sulaşmasının məhdudlaşdırılması hesabına neftin daha çox çıxarılmasını təmin etmək olar.

-vurulan agentin axınınu kollektorun su ilə yaxşı işlənmiş hissələrinə yönəltməklə həmin hissələrin bağlanması hesabına (tədric olunmanın hesabına) neft ehtiyatlarının tam sıxışdırılmasını təmin etməklə hasilatın intensifikasiyasına təmin etmək mümkündür.

ƏDƏBİYYAT

1. Азиз Х., Сеттари Э. Математическое моделирование пластовых систем: Пер. с английского. М.: Недра, 1982, 407 с.

2. Алтунина Л.К., Кувшинов В.А. Физико-химические аспекты технологий увеличения нефтеотдачи: обзор//Химия в интересах устойчивого развития. 2001, № 9, с. 331–344.
3. Альварадо В., Манрик Э. Методы увеличения нефтеотдачи пластов. Планирование и стратегии применения. М.: Премиум Инжиниринг, 2011, 244 с.
4. Демахин С.А., Демахин А.Г. Селективные методы изоляции водопритока в нефтяные скважины. Саратов: Изд-во ГосУНЦ «Колледж», 2003, 164 с.
5. Методы извлечения остаточной нефти/М.Л. Сургучев, А.Т. Горбунов, Д.П. Забродин и др. М.: Недра, 1991, 347 с.
6. Применение коллоидных систем для увеличения нефтеотдачи пластов/О.Ю. Сладовская, Д.А. Куряшов, А.И. Лахова, Р.Р. Мингазов, И.Ф. Исмагилов, Б.Р. Вагапов//Вестник Казанского технологического университета. 2010, № 10, с. 585–591.
7. Сулейманов Б.А., Фейзуллаев Х.А. Моделирование изоляции водопритоков при разработке зонально-неоднородных нефтяных пластов// Изв. НАН Азерб., серия Наук о Земле, 2017, №1, с.72-81
8. Сургучев Л.М. Увеличение нефтеотдачи пластов: статус и перспективы. Материалы II Международного научного симпозиума. М., 2009, с. 62 – 69.
9. Хавкин А.Я. Нефтегазовые нанотехнологии – основа экономики XXI века//Нанотехнологии. Экология. Производство. 2013, № 2, с. 54–59.
10. Фейзуллаев Х.А., Халилов М.С., Кулиев Э.А., Магеррамов С.Д. Моделирование газового воздействия на газоконденсатный пласт на завершающей стадии разработки // Автоматизация, телемеханизация и связь в нефтяной промышленности. М.: ОАО, ВНИИОЭНГ, 2018, №8, с.48-52
11. Feyzullayev Kh.A., Khalilov M.S. Numerical modeling of tfe water-qas stimulation of gas-condensate stratum in the final stage of development. Journal of Engineering Physics and Thermophysics, Minsk, 2019, pp.1214-1223 (перевод на английский язык) Springer
12. Халилов М.С. Разработки глубокозалегающих газоконденсатных залежей в режиме истощения. «Математическое моделирование процессов и систем»: Материалы IX Межд. науч.-практ. конф., 30 октября – 1 ноября 2019 г., г. Стерлитамак. Башкирский Государственный Университет- Институт Стратегических Исследований. г. Уфа (Россия), с.375-379
13. Alvarado V., Manrique E. Enhanced oil recovery: an update review//Energies. 2010, № 3, p. 1529-1575.

ОЦЕНИВАНИЯ ВОЗМОЖНОСТИ ПРИМЕНЕНИЯ ПОЛИМЕРНОЙ НАНОСИСТЕМЫ В ДОБЫЧЕ НЕФТЕПРОДУКТОВ ИЗ НЕФТИНЫХ МЕСТОРОЖДЕНИЙ НА ПОСЛЕДНЕМ ЭТАПЕ РАЗРАБОТКИ

М.С.ХАЛИЛОВ

РЕЗЮМЕ

Рассмотрено влияние полимера на слой глинистого нефтью. В пласте имеются нагнетательные и добывающие скважины. Приведено количество раствора полимера, закачанного в пласт в нагнетательных скважинах. В зависимости от состояния пласта требуется определить фазы, добываемые из эксплуатационных скважин, и другие технико-технологические параметры разработки в режиме процесса сжатия.

Ключевые слова: численные методы, нефть, полимер, нано частица, слой.

**EVALUATION OF POSSIBILITY OF APPLICATION OF POLYMER NANO
SYSTEMS IN PRODUCTION OF OIL PRODUCTS FROM OIL FIELDS
IN THE LAST STAGE OF DEVELOPMENT**

M.S.KHALILOV

SUMMARY

The effect of the polymer on the clay layer is considered. The formation has impermeable and extraction wells. Given the amount of polymer solution deposited in the formation in the oil wells. Depending on the state of the formation, it is necessary to determine the phases extracted from the operating wells, and other technical and technological parameters of the development in the compression process.

Keywords: numerical methods, oil, polymer, nanoparticle, layer.